

РАЗРАБОТКА СМЕШАННОЙ АВТОНОМНОЙ ЭНЕРГОСИСТЕМЫ НА БАЗЕ ВОЗОБНОВЛЯЕМЫХ ИСТОЧНИКОВ ЭНЕРГИИ

Докт. техн. наук, проф. ЛАОШВИЛИ Д. П.,
докт. техн. наук КОХРЕИДЗЕ Г. К.

*Научно-инженерный центр электроэнергетики
Грузинского технического университета*

Надежное электроснабжение и устойчивое энергосбережение являются приоритетными направлениями государственной политики. В этой связи возрастает роль исследований и разработок возобновляемых источников питания, в частности фотоэлектрических преобразований на основе солнечных батарей. Условие максимума отбираемой мощности от батареи в целом и описание способа его реализации в условиях непостоянства параметров освещенности и нагрузки рассмотрены в [1, 2].

Наиболее важными объектами коммерческой реализации должны стать солнечные электроустановки, включаемые в общую сеть энергоснабжения. В качестве критерия целесообразности создания солнечных электростанций используется удельная стоимость модулей различных типов. Стоимость 1 кВт·ч производимой или электрической энергии зависит от объема промышленного производства модулей солнечных батарей (СБ) [3, 4].

В настоящее время наиболее перспективным направлением развития солнечной энергетики является создание тонкопленочных элементов на базе аморфного кремния и его сплавов. Основные проблемы при проектировании автономных смешанных энергосистем на базе возобновляемых источников энергии сопряжены с необходимостью эффективного накопления и хранения энергии с учетом неравномерного поступления энергии солнечной радиации и изменения КПД ее преобразования в течение суток и года (КПД СБ достигает 12–15 %).

Наиболее дорогостоящим видом накопления и хранения электрической энергии являются электрохимические аккумуляторы, электрические параметры которых должны обеспечить возможность аккумулирования электроэнергии для собственных нужд на срок не менее 3 сут. [4]. Аккумуляторную батарею характеризуют следующие параметры: емкость Q , ЭДС E и напряжение на зажимах U ; зарядное и разрядное напряжение и ток ($U_{зар}$, $U_{раз}$, $I_{зар}$, $I_{раз}$); внутреннее сопротивление r и КПД по емкости и энергии η_Q , η_W ; время заряда и разряда $t_{зар}$, $t_{раз}$. Для соответствующих аккумуляторных батарей заданными являются перечисленные выше параметры. Связь между этими параметрами выражается следующими формулами:

$$\left. \begin{aligned} E &= \frac{U_{зар} I_{раз} + U_{раз} I_{зар}}{I_{зар} + I_{раз}}, \quad r = \frac{U_{зар} - U_{раз}}{I_{зар} + I_{раз}}, \\ \eta_Q &= \frac{U_{зар} I_{раз} - U_{раз} I_{зар}}{U_{зар} I_{раз} - U_{раз} I_{зар}} \frac{t_{раз}}{t_{зар}}, \quad \eta_W = \frac{U_{раз} I_{раз}}{U_{зар} I_{зар}} \frac{t_{раз}}{t_{зар}}, \end{aligned} \right\} \quad (1)$$

$$\eta_Q = \eta_W \frac{(U_{\text{зар}} I_{\text{пар}} - U_{\text{пар}} I_{\text{зар}}) U_{\text{зар}}}{(U_{\text{зар}} I_{\text{пар}} - U_{\text{пар}} I_{\text{зар}}) U_{\text{пар}}}, \quad \eta_Q > \eta_W. \quad (2)$$

На рис. 1 представлена эквивалентная схема солнечного элемента [1, 5].

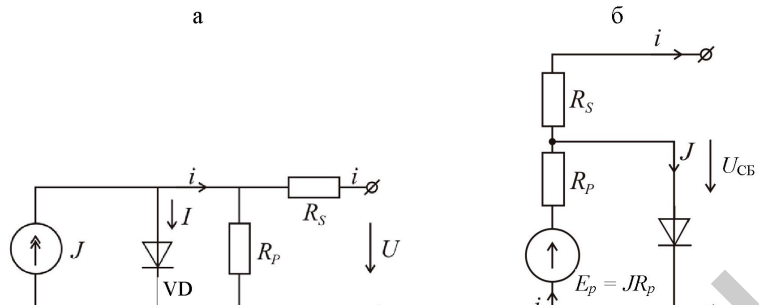


Рис. 1

Вольт-амперная характеристика солнечного элемента описывается выражением

$$i = J - I \left(e^{\frac{U}{A\phi}} - 1 \right), \quad (3)$$

где

$$\begin{aligned} I &= I_{K30} - I_0 \left\{ \exp \left[g(U - R_s I) / kT \right] - 1 \right\}; \\ \phi &= \frac{kT}{g}; \quad E_p = JR_p, \end{aligned} \quad (4)$$

где J – фототок, пропорциональный освещенности; I – ток насыщения электронно-дырочного перехода; A – диодный коэффициент; I_{K3} – совпадает с силой тока короткого замыкания панели и прямо связан с ее освещением; I_0 – обратный ток фотоэлектрического преобразователя; g – заряд электрона; R_s – внутреннее сопротивление фотоэлектронной панели; k – постоянная Больцмана; T – рабочая температура. Для идеализированного случая $R_s = 0$, $R_p = \infty$ [1, 4].

Современная смешанная автономная энергосистема содержит комбинации новых типов источников энергии – фотогальванические решетчатые антенны и ветровые турбины с дизельным генератором и аккумуляторной батареей. Гибридные энергосистемы находят применения для электрификации в удаленных районах, где расходы на расширение энергосистемы являются невозможными и цены на горючее и топливо чрезвычайно высоки из-за транспортировки [5]. Авторами представлена структурная схема смешанной энергосистемы постоянного и переменного напряжения, одновременно использующей фотоэлектрические преобразователи и аккумуляторные батареи [2, 6, 7]. На рис. 2 показана разработанная авторами принципиальная электрическая схема смешанной автономной энергосистемы, состоящей из: импульсного преобразователя постоянного тока (ИППТ); солнечной батареи; аккумуляторной батареи (АБ); сети постоянного тока

(СПТ); преобразователя постоянного тока-прерывателя (ППТ); инвертора (И); однофазового согласующего силового трансформатора (Тр); высоковольтной сети переменного тока (ВС); выключателя постоянного тока (В1); выключателей переменного тока (В2, В3); нагрузок сетей постоянного и переменного напряжения (Н1, Н2).

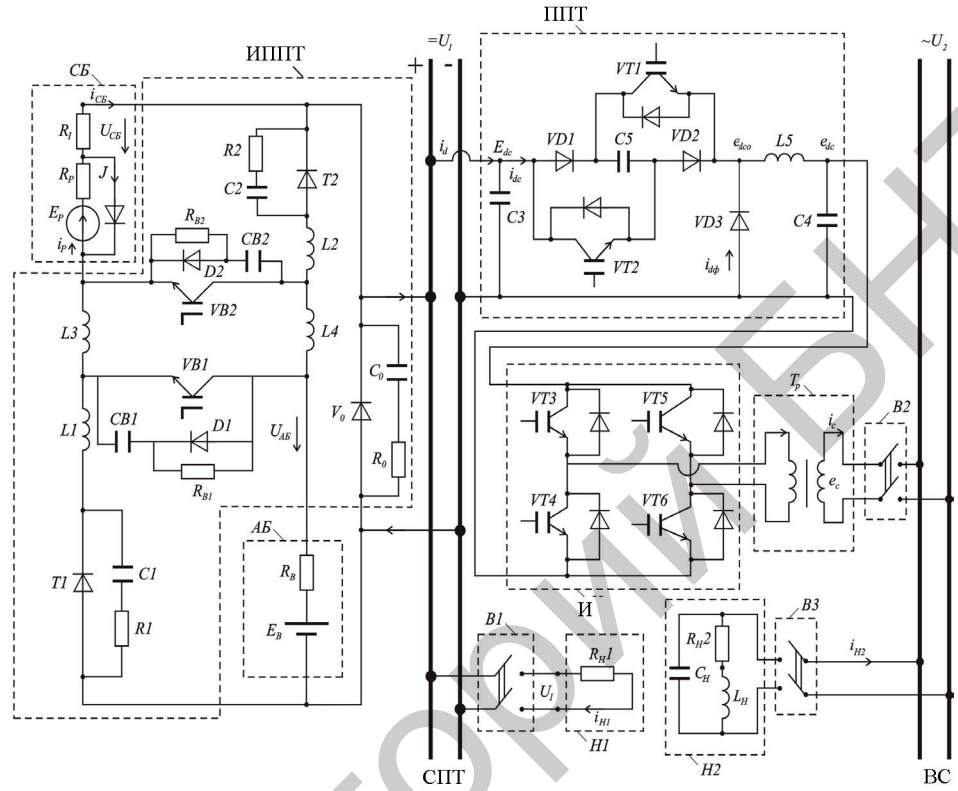


Рис. 2. Принципиальная электрическая схема смешанной автономной энергосистемы постоянного и переменного напряжения на базе возобновляемых источников энергии

ИППТ предназначен для регулирования напряжения сети U_1 постоянного тока в результате бесконтактного секционирования СБ и АБ. В схеме ИППТ VB1, VB2 – IGBT (Insulated Gate Bipolar Transistor) транзисторы; T1, T2 – однооперационные быстродействующие тиристоры; V_0 – нулевой высокочастотный диод; L1, L2 – дроссели, ограничивающие скорость нарастания токов в тиристорах T1, T2; L3, L4 – дроссели, способствующие равномерному распределению токов между транзисторами VB1, VB2; R_{B1} , C_{B1} , D_1 , R_{B2} , C_{B2} , D_2 , R_K , C_K , ($k = 0; 1,2$) демпфирующие цепочки.

При отключенных VB1, VB2 и включенных T1, T2 имеет место параллельное соединение СБ, АБ.

При включенных VB1, VB2 имеет место последовательное соединение СБ, АБ. Кроме пересоединения СБ, АБ, транзисторы VB1, VB2 осуществляют также коммутацию тиристоров T1, T2 напряжением $U_{СВ}$, $U_{АВ}$. Для защиты тиристоров T1, T2 от перенапряжений и исключения высокочастотных колебаний они зашунтированы демпфирующими цепочками R2C2.

При отключенных VB1, VB2, T2 СПТ получает питание только от СБ. В этом случае T1 находится во включенном состоянии. При отключенных VB1, VB2, T1 и включенном T2 СПТ получает питание только от АБ. Таким образом получается автоматическое бесконтактное секционирование СБ, АБ.

Общая оценка ИППТ [8]: минимальные прямые и коммутационные потери, отсутствие дополнительных коммутирующих элементов, как следствие – сочетание T1, T2 и IGBT, в результате чего ИППТ будет компактным и экономичным.

Силовые IGBT-модули заняли доминирующее положение на рынке приборов силовой электроники практически для всех видов преобразовательного оборудования мощности до единиц МВ·А. В последние годы интенсивно развивается технология прижимной конструкции IGBT-модулей, имеющих двустороннее охлаждение, низкую индуктивность выводов, высокую надежность и энерготермоциклоустойчивость [9].

Коммутируя модули СБ последовательно-параллельно, можно соответственно увеличивать или уменьшать рабочее напряжение $U_{\text{СБ}}$ и ток $i_{\text{СБ}}$, согласуя электрические характеристики СБ с энергопотребителями.

Преобразовательные установки ППТ, И позволяют обеспечить совместную работу СБ, АБ и ВС. ППТ состоит из транзисторов VT1, VT2; диодов VD1, VD2, VD3; конденсаторов C3, C4, C5; дросселя L5. Однофазный инвертор состоит из транзисторов VT3–VT6.

ППТ обеспечивает синусоидальный выходной ток, синхронизированный с сетью переменного тока. Однофазный инвертор управляет импульсами прямоугольной формы и синхронизирован с сетью переменного тока.

В случае, когда $E_{dc} > e_c$, возможны три режима работы преобразовательной установки [10]:

- транзисторы VT1 и VT2 закрыты, обратный диод VD3 открыт и ток $i_{\text{дф}}$ протекает в контуре L5 – первичная обмотка трансформатора T_p ; соответственно i_c протекает в контуре вторичная обмотка T_p – сеть переменного тока. Конденсатор C5 заряжен до напряжения E_{dc} ;
- транзисторы VT1 и VT2 открыты, а диод VD3 закрыт. Конденсатор C5 отдает накопленную энергию в сеть переменного тока, разряжаясь до нуля;
- транзисторы VT1 и VT2 закрываются, конденсатор C5 заряжается от источника входного напряжения E_{dc} . Диод VD3 открывается, когда напряжение на конденсаторе достигает значения e_c .

Таким образом, когда транзисторы VT1, VT2 закрыты, энергия накапливается в конденсаторе C5, а когда они открываются – отдается в сеть переменного тока [10].

Напряжение e_{dc0} в первом и третьем режимах равно нулю, а во втором режиме

$$e_{dc0} = E_{dc} + e_c. \quad (5)$$

IGBT транзисторы VT3–VT6 и VT4–VT5 переключаются каждые полпериода, формируя выходное напряжение и ток синусоидальной формы из мгновенных значений e_{dc} и i_{dc} . При таком управлении отсутствует задержка между переключениями транзисторов и они переключаются при нуле-

вых напряжении и токе, потери при переключениях очень малы. КПД установки при мощностях 100–700 Вт превышает 90 %, а коэффициент мощности близок к единице [10].

В дальнейшем предусмотрено математическое и компьютерное моделирование электромагнитных переходных процессов с учетом статических и динамических параметров нагрузок сетей постоянного и переменного напряжения.

ВЫВОДЫ

1. Разработана принципиальная электрическая схема смешанной автономной параллельной энергосистемы постоянного и переменного напряжения на базе солнечной и аккумуляторной батарей.

2. Для регулирования напряжения сети постоянного тока в схеме предусмотрен импульсный преобразователь постоянного тока, с помощью которого осуществляется бесконтактное секционирование солнечной и аккумуляторной батарей.

3. Составлена схема замещения солнечной батареей и получены выражения ЭДС, внутреннего сопротивления, КПД как по емкости, так и по энергии аккумуляторной батареи в зависимости от зарядного и разрядного тока и напряжения, а также от времени заряда и разряда.

4. Для устойчивой параллельной работы сетей постоянного и переменного тока между этими сетями предусмотрено последовательное соединение преобразователя постоянного тока, инвертора и однофазного силового трансформатора.

5. Рассмотрены три основных режима работы преобразователя постоянного тока, при которых происходит накапливание или отдача энергии конденсатора в сеть переменного напряжения.

6. В результате выбора ИППТ и ППТ предложенной схемы смешанной энергосистемы КПД установки превышает 90 %, а коэффициент мощности близок к единице.

ЛИТЕРАТУРА

1. Артеменко, М. Е. Оптимизация отбора мощности, генерируемой солнечной батареей / М. Е. Артеменко // Техническая электродинамика. Проблемы современной электротехники. – Киев, 2000. – Ч. 6. – С. 78–79.
2. Кохредзе, Г. К. Система управления и контроля отбора оптимальной мощности в гибридных автономных энергосистемах с нетрадиционными источниками энергии / Г. К. Кохредзе, Д. П. Лашвили, В. Ш. Метревели // Техническая электродинамика. Проблемы современной электротехники. – Киев, 2001. – С. 115–119.
3. Кохредзе, Г. К. Энергосбережение средствами смешанной энергосистемы постоянного и переменного напряжения. Проблемы автоматизированного привода / Г. К. Кохредзе, Д. П. Лашвили, В. Ш. Метревели // Вестник Харьковского гос. политехн. ун-та. – 2001. – Вып. 10. – С. 231–322.
4. Якименко, Ю. И. Фотоэнергетические системы / Ю. И. Якименко, А. Н. Шмырева, А. В. Богдан // Техническая электродинамика. Проблемы современной электротехники. – Киев, 2000. – Ч. 1. – С. 85–92.
5. Квирквелия, Г. К. Устойчивость режимов в гибридной энергии. Проблемы автоматизированного привода / Г. К. Кохредзе [и др.] // Вестник Харьковского гос. политехн. ун-та. – 2002. – Вып. 12, т. 1. – С. 264–266.

6. Компьютерное моделирование и управление электромагнитными переходными режимами в автономных гибридных энергосистемах на базе возобновляемых источников питания / Г. К. Кохрейдзе [и др.] // Техническая электродинамика. – Киев, 2002. – С. 185–191.
7. Моделирование динамических процессов в автономной энергосистеме с возобновляемыми источниками энергии / Г. К. Кохрейдзе [и др.] // Техническая электродинамика. Силовая электроника и энергоэффективность. – Киев, 2002. – С. 109–113.
8. Духовой импульсный преобразователь постоянного тока для рудничных аккумуляторных электровозов / О. Н. Синчук [и др.] // Техническая электродинамика. Силовая электроника и энергоэффективность. – Киев, 2002. – С. 11–13.
9. Форенцов, С. Н. Состояние и тенденции развития силовых модулей / С. Н. Форенцов // Техническая электродинамика. Проблемы современной электротехники. – Киев, 2000. – Ч. 1. – С. 50–57.
10. Проба зовательная установка, работающая на сеть переменного тока / В. И. Сенько [и др.] // Техническая электродинамика. Силовая электроника и энергоэффективность. – Киев, 2002. – Ч. 1. – С. 62–65.

Поступила 11.11.2009

УДК 621.83.52

ПРИМЕНЕНИЕ МЯГКОГО ПУСКА, ТОРМОЖЕНИЯ И РАБОТЫ НА ПОНИЖЕННОЙ СКОРОСТИ АСИНХРОННЫХ ДВИГАТЕЛЕЙ С КОРОТКОЗАМКНУТЫМ РОТОРОМ ДЛЯ МЕХАНИЗМОВ ПЕРЕДВИЖЕНИЯ КРАНОВ

Докт. техн. наук, проф. ФИРАГО Б. И., асп. ВАСИЛЬЕВ Д. С.

Белорусский национальный технический университет

В электроприводах (ЭП) механизмов передвижения кранов и тележек до настоящего времени применяются асинхронные двигатели (АД) с короткозамкнутым ротором как наиболее простые, дешевые и надежные [1]. Недостатками их является наличие больших пусковых токов и ударных электромагнитных моментов, отрицательно влияющих на долговечность и надежность работы механических передач. В ЭП, где по технологическим причинам не требуется длительная работа на промежуточных скоростях, требования по обеспечению экономичности работы ЭП, плавности пускотормозных процессов, ограничению ударных моментов и пусковых токов, получению пониженных устойчивых скоростей для точной остановки могут быть удовлетворены с помощью устройств плавного пуска (УПП) и торможения [2]. На выходе УПП с помощью системы управления изменяется величина первой гармоники питающего АД напряжения при его постоянной частоте. При определенном алгоритме управления на выходе УПП можно получить также напряжение пониженной частоты, которое